

基础研究

STOML-2 过表达抑制人宫颈鳞癌 Siha 细胞凋亡

胡国林¹, 姚广裕¹, 邓欢², 赵可雷³, 许斐斐¹, 梁卫江¹, 刘国炳¹¹南方医科大学南方医院, 广东 广州 510515; ²南方医科大学第三附属医院, 广东 广州 510631; ³新乡医学院第一附属医院, 河南 新乡 453199

摘要:目的 研究 STOML-2 过表达抑制人宫颈鳞癌 Siha 细胞凋亡的机制, 以期为宫颈癌的治疗开辟新的路径。方法 用携带 STOML-2 基因的腺病毒感染 Siha 细胞作为过表达组, 同时设立空白载体组及空白组作为对照, 72 h 后用 Western blot 检测 STOML-2 的过表达, 并用 MTT 法检测 STOML-2 过表达对细胞增殖的影响。用 IC₅₀ 的顺铂处理各组细胞 24 h 后, 利用荧光显微镜观察 STOML-2 过表达对细胞凋亡的影响, 并利用流式细胞仪进一步分析细胞的凋亡率; 采用 Western blot 检测线粒体凋亡途径相关蛋白 caspase3、cleaved-caspase3、Bcl-2、Bax 以及线粒体内外细胞色素 C (Cyt C) 表达量的变化。结果 与空白组及空白载体组相比, Western blot 结果显示过表达组 STOML-2 的表达量明显增加; MTT 结果显示, STOML-2 过表达后可明显促进 Siha 细胞的增殖。用 IC₅₀ 的顺铂处理细胞 24 h 后, 荧光显微镜下, 空白载体组凋亡细胞的细胞核大小不一, 浓染致密的蓝色荧光显示核固缩, 部分核裂解为凋亡小体, 而过表达组细胞核多较完整, 着色较浅, 染色质密度均匀一致, 并且流式细胞仪结果同样提示 STOML-2 过表达后细胞凋亡率明显降低。Western blot 结果显示过表达组线粒体凋亡途径相关蛋白 cleaved-caspase3、Bax 以及线粒体外 Cyt C 表达水平降低, 而 caspase3、Bcl-2 及线粒体内 Cyt C 的表达水平则相应升高。结论 STOML-2 过表达可以促进 Siha 细胞增殖, 其抑制凋亡的机制可能与线粒体凋亡途径相关。

关键词: 宫颈鳞癌; STOML-2; 线粒体凋亡途径

Overexpression of STOML-2 inhibits apoptosis of human cervical squamous carcinoma Siha cells *in vitro*HU Guolin¹, YAO Guangyu¹, DENG Huan², ZHAO Kelei³, XU Feifei¹, LIANG Weijiang¹, LIU Guobing¹¹Nanfang Hospital, Southern Medical University, Guangzhou 510515, China; ²Third Affiliated Hospital of Southern Medical University, Guangzhou 510631, China; ³The First Affiliated Hospital Of Xinxiang Medical University, Xinxiang 453199 China

Abstract: Objective To investigate the mechanism underlying the inhibitory effect of STOML-2 overexpression on apoptosis of human cervical squamous carcinoma Siha cells. **Methods** Siha cells were transfected with an adenoviral vector carrying STOML-2, and 72 h later STOML-2 expression and the proliferation of the cells were detected by Western blotting and MTT assay. The transfected cells were treated with IC₅₀ Cisplatin for 24 h, and the morphological changes of cells were observed using fluorescence, and the cell apoptosis was analyzed using flow cytometry; the expression levels of proteins related with mitochondrial apoptosis pathway, including caspase-3, cleaved caspase-3, Bcl-2, Bax and cytochrome C (Cyt C), were detected by Western blotting. **Results** Western blotting showed a significantly increased STOML-2 expression in the transfected cells. Overexpression of STOML-2 obviously promoted the proliferation of Siha cells. The STOML-2-overexpressing cells exhibited an obvious resistance to IC₅₀ Cisplatin-induced apoptosis as shown by both fluorescence microscopy and flow cytometry and presented with decreased expressions of cleaved caspase-3, Bax, and cytosol Cyt C and increased expressions of caspase-3, Bcl-2, and mitochondrial Cyt C. **Conclusion** Overexpression of STOML-2 can enhance the proliferation of Siha cells by inhibiting cell apoptosis possibly through the mitochondrial apoptosis pathway.

Key words: cervical squamous carcinoma; STOML-2; mitochondrial apoptosis pathway

STOML-2 是 stomatin 家族的新成员, 具有 stomatin 家族共有的一致序列, 但不具有 N 端跨膜区域, 因此, STOML-2 发挥功能的机制可能与其他成员不同^[1-2]。STOML-2 定位于线粒体内膜, 其在食管癌、肺

癌、子宫内膜癌等多种肿瘤均高表达^[3-4], 但其在宫颈癌组织中表达量的高低文献报道不一^[5-9]。我们实验室采用免疫组化、Real time-PCR 以及 Western blot 检测宫颈癌组织中的表达情况, 发现癌组织中 STOML-2 的表达都比对应的癌旁组织高^[8], 但对其抑制宫颈癌细胞凋亡的机制尚未进行研究, 且国内外均未见相关报道。本实验以人宫颈鳞癌 Siha 细胞为研究对象, 以腺病毒为载体介导 STOML-2 过表达, 研究其对细胞增殖的影响以及抑制宫颈癌细胞凋亡的机制。

收稿日期: 2015-05-12

基金项目: 广东省自然科学基金 (S2013010016194)

作者简介: 胡国林, 硕士, E-mail: 464033541@qq.com

通信作者: 梁卫江, 博士, 主任医师, E-mail: wjliang22@126.com; 刘国炳, 主任医师, E-mail: lgb@fimmu.com

1 材料和方法

1.1 材料

人宫颈鳞癌Siha细胞由南方医院肿瘤科实验室惠赠,RPMI 1640培养基(Hyclone),四季青胎牛血清(杭州四季青生物制品公司),STOML-2腺病毒及空载体腺病毒(美国ViGene Biosciences),顺铂(江苏豪森药业),MTT(Sigma),Hoechst33258(武汉谷歌生物),兔抗人 α -tubulin(enogene)、兔抗人caspase3及cleaved-caspase3抗体(CST)、兔抗人Cytochrome C、Bcl-2、Bax抗体(abcam)、羊抗兔荧光二抗(LI-COR)。

1.2 方法

1.2.1 Siha细胞及其培养 将Siha细胞常规培养于含体积分数为10%胎牛血清的RPMI 1640培养基中,在37℃、饱和湿度及含5% CO₂的培养箱中传代培养。

1.2.2 腺病毒感染Siha细胞 将Siha细胞按照20万/孔接种于6孔板上,过夜细胞贴壁后换液,按MOI(multiplicity of infection)=50将腺病毒加入完全培养基中感染细胞,72 h后提取全蛋白,采用Western blot检测STOML-2的表达。

1.2.3 MTT法检测STOML-2过表达后对细胞增殖的影响 取对数生长期的Siha细胞,将细胞按7000/孔接种于96孔板上,每孔200 μ L完全培养基,设5个复孔,按MOI=50将腺病毒加入全培中感染细胞,72 h后每孔加入20 μ L浓度为5 mg/mL的MTT溶液,避光、37℃孵育4 h,小心去掉孔内培养液,每孔加入150 μ L DMSO,置摇床上低速振荡10 min,使结晶物充分溶解。用酶联免疫检测仪测定吸光值(X=490 nm),实验重复3次以上。

1.2.4 MTT法检测顺铂的IC₅₀ 取对数生长期的Siha细胞,将细胞按7000个/孔接种于96孔板上,每孔200 μ L完全培养基,设5个复孔,72 h后换成顺铂终浓度为0、2.5、5、10、20、30、40、50、60 μ g/mL的完全培养基,继续培养24 h后每孔加入20 μ L浓度为5 mg/mL的MTT溶液,避光、37℃孵育4 h。小心去掉孔内培养液,每孔加入150 μ L DMSO,置摇床上低速振荡10 min,使结晶物充分溶解。用酶联免疫检测仪测定吸光值(X=490 nm),抑制率(%)=(处理组-调零孔)/(对照组-调零孔)×100%,取其平均值。实验重复3次以上。

1.2.5 Hoechst 33258染色观察细胞形态 取对数生长期的Siha细胞,将细胞按7000/孔接种于96孔板上,每孔200 μ L完全培养基,设3个复孔,按MOI=50将腺病毒加入全培中感染细胞,48 h后换成顺铂终浓度为15 μ g/mL的完全培养基,继续培养24 h后,去上清,室温下用4%多聚甲醛固定液固定30 min,用PBS洗涤3次,每孔加入50 μ L的Hoechst33258避光条件下染色15 min,再用PBS洗涤3次,在荧光显微镜下观察细胞核形态变化。

1.2.6 流式细胞仪检测细胞凋亡率 取对数生长期的Siha细胞按照20万/孔接种于6孔板上,过夜细胞贴

壁后换液,按MOI=50将腺病毒加入全培中感染细胞,72 h后换成顺铂终浓度为15 μ g/mL的完全培养基,继续培养6 h后,收集细胞,用Annexin V-FITC和PI标记,用流式细胞仪检测,分析凋亡细胞的比例。

1.2.7 Western blot分析 取对数生长期的Siha细胞按照100万/皿接种于大皿,过夜细胞贴壁后换液,按MOI=50将腺病毒加入全培中感染细胞,72 h后换成顺铂终浓度为15 μ g/mL的完全培养基,继续培养24 h后,按照全蛋白试剂盒和细胞线粒体分离试剂盒收集并裂解细胞,得到细胞全蛋白、线粒体蛋白及胞浆蛋白,用BCA法对蛋白样品进行定量。取等量蛋白样品用12% SDS-PAGE进行电泳,恒压将蛋白转至PVDF膜。室温下将膜在含5%脱脂奶粉的TBST溶液中封闭1 h,按照适当的稀释度加入一抗,4℃孵育过夜,荧光二抗室温孵育1 h,应用Western blot检测系统测定caspase3、cleaved-caspase3、Bcl-2、Bax以及线粒体内外Cyt C的表达水平。

1.3 统计学处理

采用SPSS20.0统计软件,实验数据以均数±标准差表示,组间比较采用单因素方差分析, $P<0.05$ 认为差异具有统计学意义。

2 结果

2.1 腺病毒感染Siha细胞后STOML-2的表达

Western blot结果如图1所示,用携带STOML-2基因的腺病毒转染Siha细胞72 h后STOML-2的表达明显增加,说明外源性的STOML-2基因可以在Siha细胞中过表达。

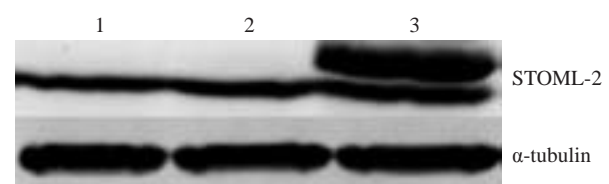


图1 腺病毒感染Siha细胞72 h后STOML-2的表达
Fig.1 Expression of STOML-2 after transfection in Siha cells. 1: Blank group; 2: Empty vector transfection group; 3: Overexpression group.

2.2 STOML-2过表达对细胞增殖的影响

MTT结果显示,STOML-2过表达后明显促进Siha细胞的增殖,同空白组和空载体组相比,结果具有显著统计学差异(0.545 ± 0.080 vs 0.548 ± 0.010 vs 0.636 ± 0.057 , $P<0.0001$),而空白组与空载体组无统计学差异。

2.3 MTT法检测顺铂的IC₅₀

用不同浓度的顺铂处理Siha细胞24 h后,MTT结果显示,随着顺铂浓度的增加,其对Siha细胞的杀伤率越来越高(图2),计算得IC₅₀≈15 μ g/mL。

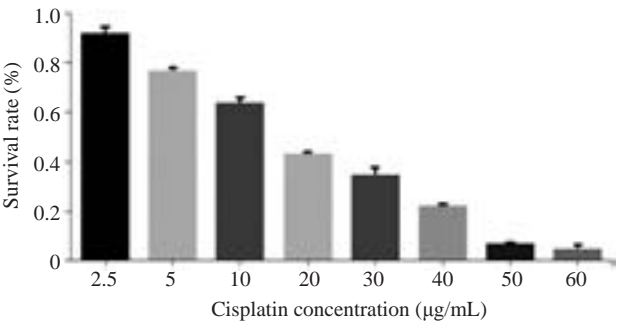


图2 不同浓度的顺铂对Siha细胞的杀伤作用
Fig.2 Changes in the viability of Siha cells after treatment with cisplatin.

2.4 Hoechst33258 染色检测细胞凋亡

细胞发生凋亡时往往出现细胞核形态的改变。用终浓度为 15 µg/mL 的顺铂处理 Siha 细胞 24 h 后,其 Hoechst33258 染色结果如图 3 所示,空白组和空载体组细胞表现为凋亡细胞的细胞核大小不一,浓染致密的蓝色荧光显示核固缩,部分核裂解为凋亡小体,而过表达组细胞核多较完整,着色较浅,染色质密度均匀一致,说明经同浓度的顺铂处理后 STOML-2 过表达组细胞凋亡减少。

2.5 流式细胞仪结果分析

用终浓度为 15 µg/mL 的顺铂作用于 Siha 细胞 6 h

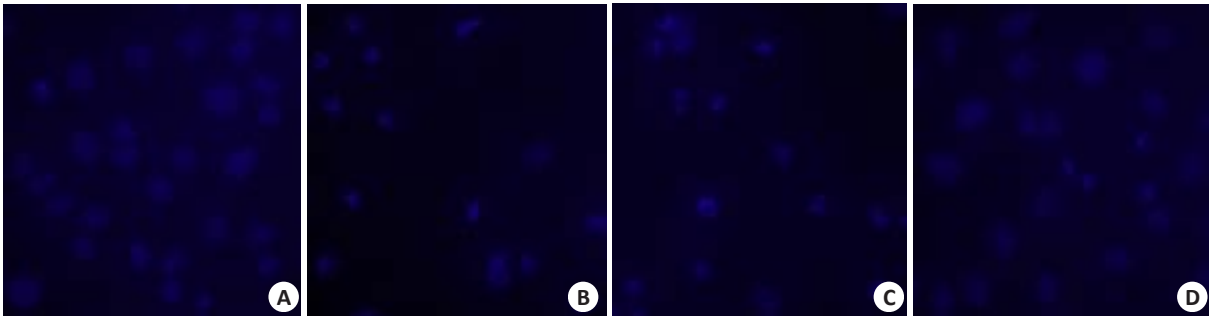


图3 荧光显微镜下观察STOML-2过表达后对Siha细胞形态的影响
Fig.3 Fluorescence microscope of morphological changes of Siha cells after Cisplatin exposure (Original magnification: ×400).
A: Blank group; B: Blank group+Cisplatin; C: Empty vector transfection group+Cisplatin; D: Everexpression group+Cisplatin.

后,收集细胞,采用 Annexin V-FITC/PI 双染,上机检测细胞凋亡。结果如图 4 所示,与空白组及空载体组相比,过表达组早期凋亡率明显减少且具有统计学差异 (36.30 ± 5.72 vs 39.77 ± 7.34 vs 9.10 ± 5.16 , $P<0.01$),且总

凋亡率也明显减少且具有统计学差异 (51.40 ± 4.80 vs 61.53 ± 7.17 vs 20.30 ± 9.96 , $P<0.01$),空白组与空载体组相比早期凋亡率及总凋亡率均无统计学差异。

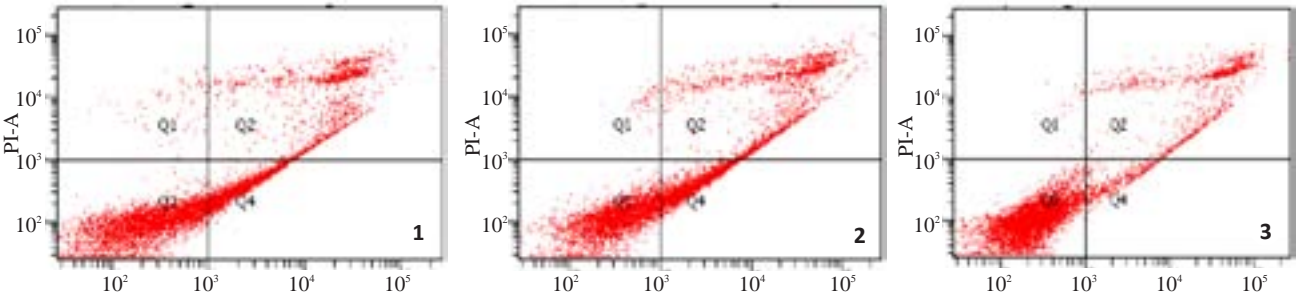


图4 Annexin V-FITC/PI 双染流式细胞分析
Fig.4 Flow cytometry analysis for Annexin V-FITC/PI staining. 1: Blank group + Cisplatin; 2: Empty vector transfection group + Cisplatin; 3: Overexpression group+Cisplatin.

2.6 western blot检测线粒体凋亡途径相关蛋白的变化

如图 5,6 所示,经顺铂作用 24 h 后,与空白组和空载体组相比,过表达组与凋亡直接相关的 cleaved-caspase3、线粒体外 Cyt C 及 Bax 的表达水平降低,而对应的 caspase-3、线粒体内 Cyt C 及 Bcl-2 的表达水平则升高。

3 讨论

STOML-2 在食管癌、肺癌、子宫内膜癌及宫颈癌等多种恶性肿瘤广泛高表达^[3-4],说明了其在恶性肿瘤的发生、发展中起着重要作用。我们使用腺病毒感染宫颈鳞癌 Siha 细胞后 MTT 结果提示 STOML-2 过表达可以促

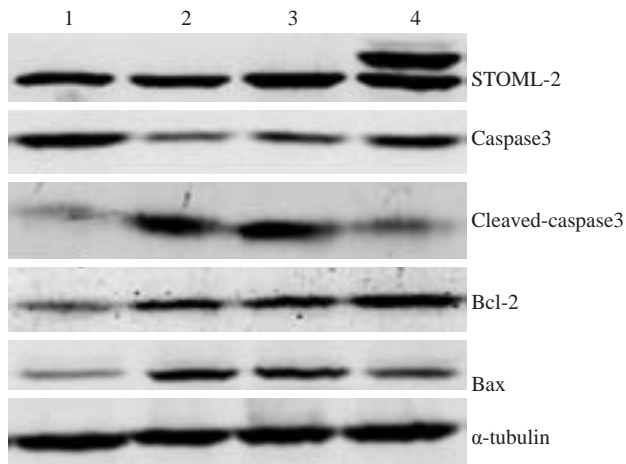


图5 Western blot 检测凋亡相关蛋白的表达

Fig.5 The expression of apoptosis-related proteins in Siha cells detected by Western blot. 1: Blank group; 2: Blank group + Cisplatin; 3: Empty vector transfection group + Cisplatin; 4: Overexpression group + Cisplatin.

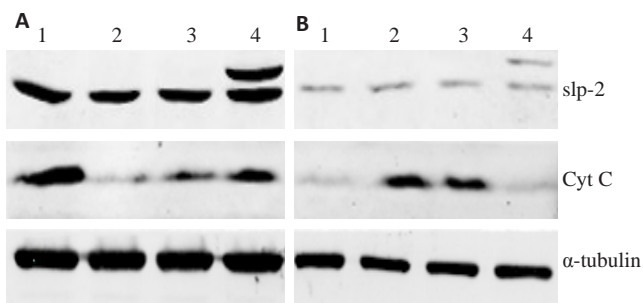


图6 Western blot 检测线粒体内外细胞色素 C 的表达

Fig.6 Levels of Cyt-C release from mitochondria to cytosol in Siha cells detected by Western blotting. 1: Blank group; 2: Blank group + Cisplatin; 3: Empty vector transfection group + Cisplatin; 4: Overexpression group + Cisplatin. A: Mitochondria; B: Cytosol.

进 Siha 细胞的增殖。用顺铂诱导各组细胞凋亡后用 Annexin V 法检测显示过表达组早期凋亡率及总凋亡率均明显低于对照组,而我们以前用 HeLa、HCC94 细胞株沉默 STOML-2 后早期凋亡率及总凋亡率均明显高于对照组,说明 STOML-2 在宫颈鳞癌细胞中起着抑制凋亡的作用,而 STOML-2 抑制肿瘤细胞凋亡的机制,国内外均未见相关报道。

Rezaul 等^[10]研究发现 STOML-2 存在于线粒体内。随后,两个独立的研究小组^[11-12]进一步报道 STOML-2 定位于线粒体内膜,本实验通过提取线粒体内外蛋白采用 Western blot 也同时证实了 STOML-2 主要存在于线粒体内。在哺乳类动物的细胞中线粒体通路是凋亡发生时的主要信号通路,在发生细胞外应激和细胞内损伤如 DNA 损伤时启动^[13]。当细胞受到细胞内外的凋亡诱因刺激启动线粒体凋亡途径时,Bcl-2/Bax 介导的线粒体外膜通透(MOMP)使线粒体内一些可溶性的蛋白如

Cyt C 从线粒体内膜释放至细胞质内。Cyt C 结合至单体的凋亡蛋白酶激活因子 Apaf-1,进而使得 Apaf-1 的空间构象发生改变并聚合为多聚体结构。Caspase-9 前体与 Apaf-1 多聚体结合形成凋亡体,凋亡体的形成能激活 Caspase-9,通过 Caspase-9 介导的蛋白裂解作用,最终激活了 Caspase-3,诱导细胞凋亡的发生。

本实验进一步用顺铂处理 STOML-2 过表达的 Siha 细胞后检测线粒体凋亡途径相关蛋白的变化,结果显示 STOML-2 过表达后 Bax/Bcl-2 的比率降低,从线粒体释放到胞浆中的细胞色素 C 减少,使 cleaved-caspase3 也减少,说明 STOML-2 过表达可以抑制肿瘤细胞的凋亡,并且其抑制细胞凋亡的机制可能是通过线粒体凋亡途径进行。

综上所述,STOML-2 过表达可以促进 Siha 细胞的增殖,STOML-2 可能通过线粒体凋亡途径抑制肿瘤细胞的凋亡,更为完整的机制有待进一步实验证实。

参考文献:

- [1] Owczarek CM, Treutlein HR, Portbury KJ, et al. A novel member of the STOMATIN/EPB72/mec-2 family, stomatin-like 2 (STOML2), is ubiquitously expressed and localizes to HSA chromosome 9p13.1 [J]. Cytogenet Cell Genet, 2001, 92(3/4): 196-203.
- [2] Dunphy JT, Linder ME. Signalling functions of protein palmitoylation[J]. Biochim Biophys Acta, 1998, 1436(1/2): 245-61.
- [3] Zhang L, Ding F, Cao W, et al. Stomatin-like protein 2 is overexpressed in Cancer and involved in regulating cell growth and cell adhesion in human esophageal squamous cell carcinoma [J]. Clin Cancer Res, 2006, 12(5): 1639-46.
- [4] Cao W, Zhang B, Liu Y, et al. High-level SLP-2 expression and HER-2/neu protein expression are associated with decreased breast Cancer patient survival[J]. Am J Clin Pathol, 2007, 128(3): 430-6.
- [5] 吴郁. SLP-2 基因在宫颈鳞癌组织中的表达及其功能的初步研究 [D]. 北京: 中国协和医科大学, 2006.
- [6] 郑焱. 组织芯片法检测新基因 SLP-2 在宫颈鳞癌组织中的表达及意义 [D]. 青岛: 青岛大学, 2008.
- [7] 刘雪梅, 马琳. SLP-2 在宫颈腺癌中的表达及其临床意义 [J]. 职业与健康, 2011, 27(10): 1195-7.
- [8] 邓欢. STOML-2 在宫颈癌中的表达及其功能研究 [D]. 广州: 南方医科大学, 2012.
- [9] 杨晓, 刘玉玲, 胡晓军, 等. MTA1 和 SLP-2 蛋白在宫颈鳞癌中的表达及相关性 [J]. 中国妇幼保健, 2013, 28(11): 1800-2.
- [10] Rezaul K, Wu L, Mayya V, et al. A systematic characterization of mitochondrial proteome from human T leukemia cells [J]. Mol Cell Proteomics, 2005, 4(2): 169-81.
- [11] Hájek P, Chomyn A, Attardi G. Identification of a novel mitochondrial complex containing mitofusin 2 and stomatin-like protein 2 [J]. J Biol Chem, 2007, 282(8): 5670-81.
- [12] Da Cruz S, Parone PA, Gonzalo P, et al. SLP-2 interacts with prohibitins in the mitochondrial inner membrane and contributes to their stability [J]. Biochim Biophys Acta, 2008, 1783(5): 904-11.
- [13] Hengartner MO. The biochemistry of apoptosis [J]. Nature, 2000, 407(6805): 770-6.

(编辑:孙昌朋)